

広島大学 工学部 正員 大村 裕
 広島大学 工学部 正員 藤井 堅
 鹿島建設㈱ 正員 正岡 祐一

1. まえがき 圧縮フランジの鉛直座屈に起因するプレートガーダーの曲げ耐荷力に関して、長谷川らは過去に発表された曲げ耐荷力理論に問題点があることを指摘し²⁾、独自の耐荷力理論を提案した³⁾。本研究では、フランジを支える腹板の支持力を腹板の面外たわみに注目して、これを正確に評価し、プレートガーダーの曲げ耐荷性状の解明を試みたものである。

2. 解析モデル 腹板座屈後の桁は、Fig-1a) に示すように腹板が面外にたわんだ状態で曲げモーメントに抵抗することになる。いま、この腹板からFig-1b) のような幅dyなる帯板を取り出し、これに単位幅当りの荷重qが作用して鉛直方向にδだけ変位したと仮定する。この時、この帯板の鉛直方向の支持力と等価なばね定数kは式-1で表される。さらにδを求めるこによって、ばね定数kは式-2のように表すことができる。

$$k = dy \cdot q / \delta \quad (1)$$

$$k = \frac{E}{12} \frac{t_w}{h} / \int_0^1 \left(\frac{u(\eta, \xi)}{t_w} \right)^2 d\xi \quad (2)$$

ここで、 $\eta = y/a$, $\xi = z/h$ である。なお、腹板の曲げ挙動は、フランジとの接合辺をたわみに対して固定、鉛直補剛材との接合辺を単純支持とした腹板パネルについて、幾何学的非線形性を考慮した有限要素弾塑性解析によって求めた。そしてプレートガーダーの曲げ耐荷力問題は、この腹板のたわみを式-2に代入して得られたばねによつて、Fig-1c)のよう、弹性的に支持されたフランジの座屈問題に置き換えることができる。

Fig-1d) は本解析モデルの耐荷力算定の概念図である。

line-aは腹板パネルの有限要素解析で得られる腹板曲げモーメント M_w と腹板圧縮縁の曲げひずみ ε_w の関係を、またline-bは圧縮フランジの座屈ひずみ ε_f と M_w の関係を表している。耐荷曲げモーメント M_u は2つの曲線の交点P、すなわち腹板とフランジの接合辺の歪みが一致する時の曲げモーメントと考えることができる。交点Pからフランジの座屈歪み ε_{cr} と腹板負担曲げモーメントが得られ、 ε_{cr} からはさらにフランジ軸圧縮力 P_{cr} が求められる。そして耐荷曲げモーメント M_u は、

$$M_u = P_{cr} \cdot h + M_{cr} \quad (3)$$

で与えた。ここにhは腹板の高さである。

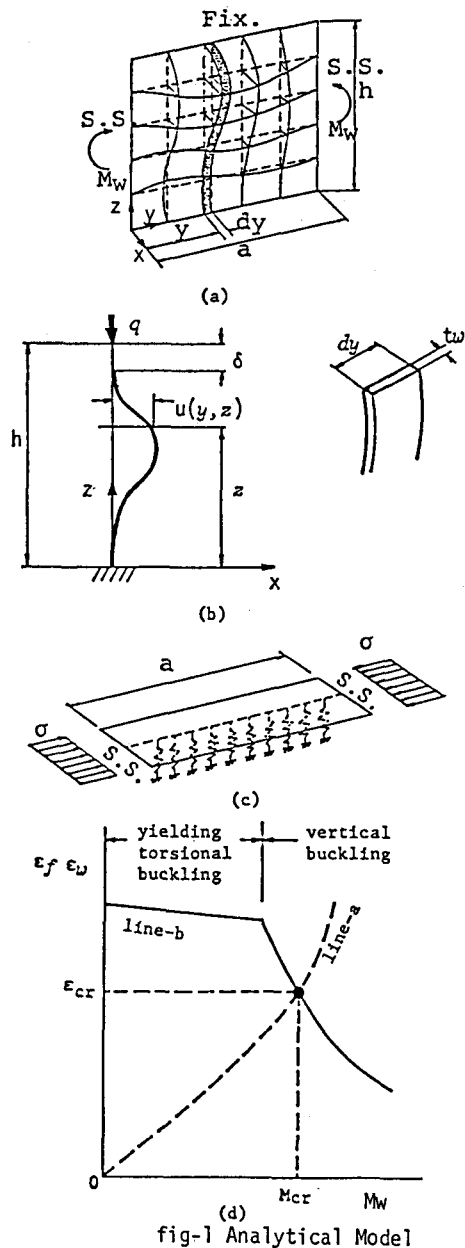


fig-1 Analytical Model

3. 解析結果 Fig-2 は $a/h=0.75$ のやせ馬変形の初期たわみを有する腹板パネルのばね定数分布 $c = 12h k/E t_w$ を荷重パラメータ $k_w = \sigma_w h^2 t_w / \pi^2 D_w$ ($\sigma_w = M_w h / 2 I_w$) とともに表したものであり、それに対応する腹板圧縮側 ($\xi = 0.75$) のたわみ分布もあわせて示した。この図から、ばね定数は k_w の増加につれて低下するが、 $k_w > 100$ ではその分布形は大きく変化し、ばね定数分布が腹板のたわみと密接に関連しているのがわかる。

Fig-4 に Fig-2 のばね定数を用いた耐荷力曲線を示す。フランジを板とみなして F.S.M. を適用して得られた耐荷力曲線では、ねじれ座屈(一点鎖線)と鉛直座屈(実線)が現れている。Fig-4 は、腹板幅厚比が 200 を越えると腹板のフランジを支える支持力が不十分となりねじれ座屈が起こる前に鉛直座屈に起因して桁は崩壊することを示している。

一方、破線はフランジを柱(梁)とみなした鉛直座屈のみを考慮した耐荷力曲線である。

Table-1 は過去に行われた実験結果と本解析値を比較したものである。表には、解析に使用した腹板パネルの初期形状およびフランジの残留応力を併せて示した。表から本解析モデルがフランジ鉛直座屈に起因する崩壊性状をよく説明していると考えられる。

フランジを柱と見なした解析結果は、板とみなした結果よりも高めの耐荷力を与えているが、その差はわずかであり、フランジ鉛直座屈に関してはどちらを用いても差し支えないと思われる。

(参考文献) 1) Basler & Thurlimann: Strength of plate girders in bending, Proc. of ASCE, vol.87, No. ST6, Aug., 1961. 2) 長谷川, 堀口, 西野: ブレートガーダーの耐荷力に関する一考察(上), 橋梁と基礎, vol.11, No.4, Apr., 1981. 3) 長谷川, 和田, 西野: ブレートガーダーの曲げ耐荷力に関する新しい理論, Proc. JSCE, No.360, Aug., 1980.

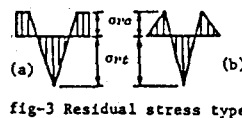
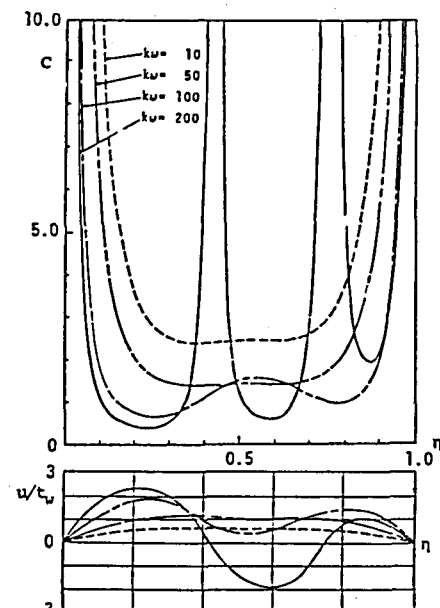


fig-3 Residual stress type

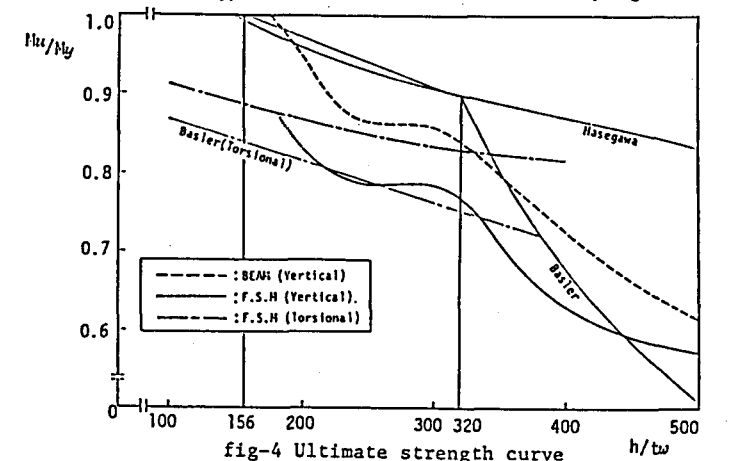


Table 1 Comparison of tests with analysis

No.	Ref.	Test Girder	Used Initial Deflections of Web		Used Residual Stress in Fig.-3		M_{fl}^x/M_y	M_{fl}^z/M_y	F.S.H DENI	
			m	n	U_{max}/t_w	Type				
1	Cooper Konishi et.al	LB-1	1	2	1.33	a	0.5	1.0	0.809(V) 0.818	
2		C	2	1	0.3	a	0.5	1.0	0.806(T) 0.850(V) 0.947	
3	Hasegawa et.al	B-17-A	1	1	1.0	a	0.5	1.0	1.03(Y) 1.032(Y) 1.067	
4		B-17-B	1	1	1.0	a	0.5	1.0	1.01(Y) 1.070(Y) 1.072	
5		B-21-A	1	1	1.0	a	0.5	1.0	1.00(V) 0.902(V) 1.074	
6		B-21-B	1	1	1.0	a	0.5	1.0	0.98(V) 0.984(V) —	
7		B-25-A	1	1	1.0	a	0.5	1.0	0.92(Y) 0.923(V) 0.974	
8		B-25-B	1	2	2.14	b	0.3	0.5	0.835(V) 0.872(V) 0.890	
9	Ohmura	M-1	3	3	1.10	b	0.5	1.0	0.761(T) 0.788(T) —	
10	Basler	I)	G4-T2	1	3	1.0	a	0.5	1.0	0.954(V) 0.931(V) 0.943
11		G2-T2	1	1	1.0	a	0.5	1.0	0.966(Y) 1.108(Y) —	

m:Numbers of dominant waves in y-direction, n:Numbers of dominant waves in z-direction
(Y):Flange yielding, (T):Flange torsional buckling, (V):Flange vertical buckling